

# ВЛИЯНИЕ ИОННОЙ СИЛЫ РАСТВОРА НА РАВНОВЕСИЕ И ДИНАМИКУ СОРБЦИИ МЕДИ(II) И КОБАЛЬТА(II) МАКРОСЕТЧАТЫМ КАРБОКСИЛЬНЫМ КАТИОНИТОМ КБ-2Э

Л.А. Бобкова, В.В. Козик, В.В. Петрова, Т.В. Односторонцева

Исследовано влияние ионной силы раствора на равновесные и динамические свойства макросетчатого карбоксильного кationита КБ-2Э различной сшитости по отношению к ионам меди(II) и кобальта(II). Отмечено слабое влияние ионной силы раствора на равновесие и динамику поглощения ионов  $Cu^{2+}$ , к которым кationит проявляет повышенное средство. При сорбции  $Co^{2+}$  негативное действие ионной силы раствора возрастает с уменьшением сшитости сорбента.

Ключевые слова: макросетчатые карбоксильные кationиты, очистка растворов, сорбция.

## ВВЕДЕНИЕ

Ионная сила раствора оказывает существенное влияние на избирательность ионного обмена за счет экранирования функциональных групп сорбента ионами фонового электролита, снижения активности ионов и набухаемости обменников, а также изменения гидратации ионов.

В работе [1] показана возможность глубокой очистки концентрированных растворов солей щелочных металлов от ионов  $d$ -металлов на карбоксильных кationитах КБ-2 и КБ-4 в депротонированной форме, которая достигается при повышенных температурах в результате изменения гидратационного состояния ионов.

Макросетчатый карбоксильный кationит КБ-2Э, синтезированный Кемеровским ЗАО «Токем», отличается от кationита КБ-2 наличием длинноцепного сивающего агента – дивинилового эфира диэтиленгликоля. Благодаря макросетчатой структуре КБ-2Э, увеличивается доступность активных групп ионита для участия в сорбционном процессе [2]. В этом случае можно ожидать ослабление влияния ионной силы раствора на равновесные и динамические свойства кationита КБ-2Э.

В данной работе проведена качественная и количественная оценка влияния ионной силы раствора на равновесие и динамику сорбции ионов кобальта(II) и меди(II) макросетчатым карбоксильным кationитом КБ-2Э различной сшитости.

## ЭКСПЕРИМЕНТАЛЬНАЯ ЧАСТЬ

Сорбцию  $Co^{2+}$  и  $Cu^{2+}$  в статических условиях проводили на Na-форме кationита КБ-2Э из растворов нитратов с  $pH \sim 4,5$  в интервале концентраций ионов  $(0,5 \div 2,6) \cdot 10^{-3}$  моль/л.

Ионную силу растворов изменяли добавлением  $NaNO_3$ . Соотношение между массой сорбента и объемом раствора составляло 1:250. Концентрацию  $Co^{2+}$  и  $Cu^{2+}$  в равновесных растворах определяли фотоколориметрически с реагентами нитрозо-R-солью и рубеановодородной кислотой соответственно [3]. Для проверки правильности результатов проводили десорбцию ионов  $Mg^{2+}$  из ионита 0,4 моль/л раствором  $HNO_3$  и последующий анализ десорбата комплексонометрически.

Динамику сорбции  $Co^{2+}$  и  $Cu^{2+}$  исследовали методом фронтальной хроматографии на Na-форме кationита КБ-2Э-10 с диаметром зерен 0,025-0,05 см. Раствор с концентрацией  $2 \cdot 10^{-2}$  моль/л с помощью перистальтического насоса пропускали через колонку диаметром 0,8 см. со скоростью 1 мл/мин. Содержание ионов в порциях фильтрата определяли комплексонометрически. Выходные кривые строили в координатах  $C/C_0 = f(V_{\text{фильтрата}})$ , где  $V_{\text{фильтрата}}$  – объем раствора, прошедшего через колонку,  $C/C_0$  – отношение концентраций ионов в порции фильтрата и в исходном растворе. По объему до «проскока» и объему насыщения рассчитывали рабочую динамическую обменную емкость (ДОЕ) и полную динамическую обменную емкость (ПДОЕ). Объемную ширину фронта  $\Delta V$  измеряли между точками  $C/C_0 = 0,15$  и  $C/C_0 = 0,85$ , поскольку крайние точки выходной кривой искажаются вследствие размыивания хроматографического фронта. Для проверки стационарности фронта рассчитывали линейную скорость движения по колонке средней точки фронта ( $\omega_{0,5}$ ). Фронт считается стационарным, если  $\omega_{0,5}$  не зависит от высоты слоя сорбента.

ИК-спектры кationита КБ-2Э снимали на спектрофотометре Nicolet 5700. Морфологическую структуру поверхности зерен исследовали

довали на растровом электронном микроскопе Quanta 200 3D.

## РЕЗУЛЬТАТЫ И ОБСУЖДЕНИЕ

**Равновесие сорбции ионов меди(II) и кобальта(II).** Изотермы сорбции  $\text{Co}^{2+}$  и  $\text{Cu}^{2+}$  катионитами КБ-2Э-4 и КБ-2Э-10, отличающимися содержанием сшивющего агента, из растворов с ионной силой 0,1 – 1,0 приведены на рисунок 1 и 2.

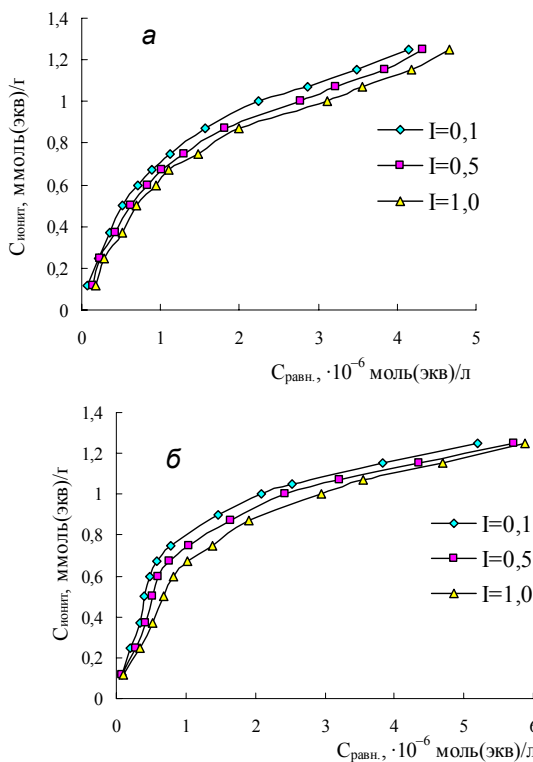


Рисунок 1. Изотермы сорбции  $\text{Cu}^{2+}$  катионитами КБ-2Э из растворов с различной ионной силой: а – КБ-2Э-4, б - КБ-2Э-10.

Крутой подъем начальных линейных участков, выпуклость кривых изотерм указывают на высокую избирательность сорбции. Наибольшую крутизну начальных участков и выпуклость имеют изотермы  $\text{Cu}^{2+}$  (рисунок 1). Форма изотерм сорбции кобальта(II) с пологим ходом линейных участков в начальной области и резким ростом в интервале средних концентраций ионов, вероятно, связана с заполнением двух типов сорбционных центров.

Максимальные значения коэффициентов распределения  $D$ , рассчитанные как отношение равновесных концентраций ионов  $\text{Me}^{2+}$  в фазе ионита и в растворе, для  $\text{Co}^{2+}$  достигают величины  $\sim 10^3$  и для  $\text{Cu}^{2+} \sim 10^6$ . Зависимость равновесных характеристик сорбции

$\text{Cu}^{2+}$  от степени сшивости сорбента (рисунок 1) выражена слабее по сравнению с ионами  $\text{Co}^{2+}$ , что объясняется повышенным сродством катионита к меди(II).

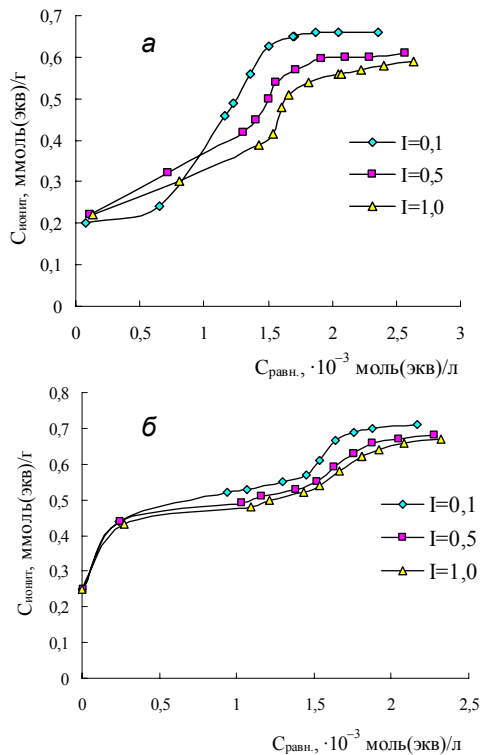


Рисунок 2. Изотермы сорбции  $\text{Co}^{2+}$  катионитами КБ-2Э из растворов с различной ионной силой: а – КБ-2Э-4, б - КБ-2Э-10.

Как следует из рисунков 1 и 2, с повышением концентрации фонового электролита избирательность сорбции целевых ионов снижается. Это видно по расхождению кривых изотерм на обоих катионитах в области средних и высоких концентраций. Наиболее существенное уменьшение сорбции наблюдается для  $\text{Co}^{2+}$ . С ростом ионной силы раствора от 0,1 до 1,0 средние значения  $D$  для  $\text{Co}^{2+}$  изменяются в пределах порядка:  $(3 \div 0,3) \cdot 10^3$ . В случае ионов  $\text{Cu}^{2+}$ , к которым катионит КБ-2Э проявляет повышенное сродство, уменьшение коэффициентов распределения выражено слабее –  $(14 \div 2) \cdot 10^5$ . Более сильное негативное влияние ионной силы раствора на процесс поглощения  $\text{Co}^{2+}$  может быть вызвано не только экранированием функциональных групп сорбента ионами фонового электролита, снижением активности ионов, но и уменьшением набухаемости катионита, особенностями гидратации и механизма сорбции ионов.

Известно [4], что устойчивость координационной сферы первичной гидратной об-

## ВЛИЯНИЕ ИОННОЙ СИЛЫ РАСТВОРА НА РАВНОВЕСИЕ И ДИНАМИКУ СОРБЦИИ КОБАЛЬТА(II) И МЕДИ(II) МАКРОСЕТЧАТЫМ КАРБОКСИЛЬНЫМ КАТИОНИТОМ КБ-2Э

лочки, имеющей октаэдрическую конфигурацию, у катионов  $\text{Co}^{2+}$  и  $\text{Cu}^{2+}$  отличается. Различия обусловлены искажением этой конфигурации в результате проявления эффекта Яна-Теллера. Комплексы  $\text{Cu}^{2+}$ , как правило, вытянуты по одной из осей, что облегчает замену молекул воды в аквакомплексах  $\text{Cu}^{2+}$  другими лигандами, в частности, карбоксильными группами катионита КБ-2Э, за счет более сильного донорно-акцепторного взаимодействия. Гидратная оболочка  $\text{Co}^{2+}$  имеет слабое искажение, что определяет ее стабильность. Наличие у ионов  $\text{Co}^{2+}$ , находящихся в октаэдрическом поле лигантов, трех неспаренных электронов, вероятно, способствует их высокой положительной гидратации [5]. Это означает, что помимо первичной гидратной оболочки вокруг иона формируется достаточно устойчивая вторичная оболочка. Радиус гидратированных ионов  $\text{Co}^{2+}$  увеличивается. В этом случае можно ожидать преимущественно ионообменное взаимодействие с функциональными группами сорбента.

С наличием и особенностями гидратации ионов связаны изменения в ИК-спектрах образцов катионита КБ-2Э.

Сорбция ионов *d*-металлов карбоксильными катионитами с образованием координационных связей, а значит заменой лигантов - молекул воды на карбоксильные группы, приводит к появлению в области асимметричных валентных колебаний  $\text{COO}^-$ -иона двух полос поглощения при 1640 и 1570  $\text{cm}^{-1}$  [6], что указывает на образование двух типов связи иона металла с карбоксильной группой. Пик при 1640  $\text{cm}^{-1}$  характеризует более ковалентную связь, а при 1570  $\text{cm}^{-1}$  – ионную.

В ИК-спектре  $\text{Cu}$ -формы полоса поглощения в области 1580  $\text{cm}^{-1}$ , соответствующая асимметричным валентным колебаниям ионизированной  $\text{COO}^-$ -группы проявляется слабо, но наблюдается пик при 1633  $\text{cm}^{-1}$ . В спектрах  $\text{Na}$ - и  $\text{Co}$ -форм сорбента присутствует одна интенсивная полоса при 1570  $\text{cm}^{-1}$ , что позволяет говорить об образовании преимущественно ионного типа связи. Интенсивность полосы уменьшается при переходе от натриевой к кобальтовой, а затем к медной формам.

В области 1405 – 1407  $\text{cm}^{-1}$  присутствует интенсивная полоса поглощения, отвечающая симметричным валентным колебаниям карбоксилат-иона. При переходе от  $\text{Na}$ - к  $\text{Co}$ - и  $\text{Cu}$ -формам интенсивность ее снижается, что также можно объяснить увеличением прочности связи  $\text{COO}^-$ -иона с  $\text{Me}^{2+}$  в этом ряду. В спектрах  $\text{Na}$ - и  $\text{Co}$ -форм наблюдается полоса в области ~ 850  $\text{cm}^{-1}$ , относящаяся к деформационным колебаниям карбоксилат-

иона. Вероятно, ослабление связи  $\text{M}^{2+}$  с карбоксильными группами катионита может быть обусловлено участием в сорбции гидратированных ионов металлов.

Анализ морфологии поверхности зерен катионита КБ-2Э показывает, что сорбция  $\text{Co}^{2+}$  натриевой формой ионита, характеризующейся однородной поверхностью (рисунок 3 а), приводит к появлению на поверхности объемных нитевидных структур (рисунок 3 б) длиной несколько десятков микрон и толщиной 2 - 3 мкм. Вероятно, их образуют развернутые фибрillлярные формы [7]. При более высоком увеличении (рисунок 3 в) на поверхности видны неструктурированные образования, по форме напоминающие глобулы диаметром 300 - 400 нм, между которыми расположены мезопоры размером 500-1000 нм [8]. Возможно, что первый тип сорбционных центров, отвечающий за начальные участки кривых изотерм  $\text{Co}^{2+}$  (рисунок 2), связан с поглощением ионов поверхностными активными группами. Второй этап сорбции обусловлен поглощением ионов в мезопорах.

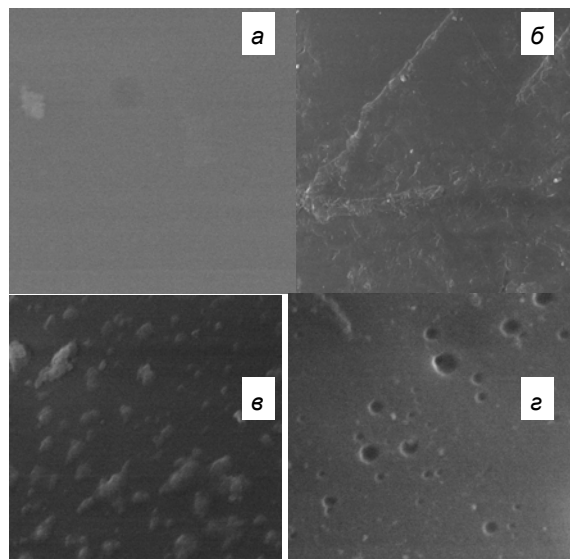


Рисунок 3. Электронные микрофотографии поверхности зерен катионита КБ-2Э-10 в натриевой (а), кобальтовой (б) и медной (в) формах. Увеличение x40000.

На снимках ионита в  $\text{Cu}$ -форме (рисунок 3 в) наблюдаются впадины круглой геометрии с диаметром ~ 1 мкм. Можно предполагать, что при сорбции  $\text{Cu}^{2+}$  наиболее прочное связывание ионов с функциональными группами происходит в глубине зерна. Результаты электронно-микроскопического исследования позволяют считать, что при поглощении  $\text{Cu}^{2+}$  сорбционный фронт движется от периферии к центру зерна. В случае ионов  $\text{Co}^{2+}$  фронт

формируется в приповерхностной области зерна.

Видимо, с прочностью и размером гидратной оболочки  $\text{Co}^{2+}$  связан характер изменения избирательности сорбции с ростом ионной силы раствора на катионитах КБ-2Э различной сшитости. Высокое содержание сшивавшего агента в КБ-2Э-10 (~ 10% мас.) обуславливает жесткую структуру полимерного каркаса, что, в свою очередь, снижает набухаемость сорбента и ее зависимость от концентрации фонового электролита. Учитывая, что ионы  $\text{Co}^{2+}$  сорбируются преимущественно в приповерхностном слое, ход кривых изотерм с повышением ионной силы раствора изменяется незначительно. При переходе к менее жесткому, более набухающему катиониту КБ-2Э-4 негативное влияние ионной силы раствора на избирательность сорбции  $\text{Co}^{2+}$  усиливается (рисунок 2 а).

**Динамика сорбции ионов меди(II) и кобальта(II).** Большинство ионообменных процессов на практике осуществляется в динамических условиях при стационарном, то есть не зависящем от высоты колонки, хроматографическом фронте [7].

Исследование динамики сорбции  $\text{Co}^{2+}$  и  $\text{Cu}^{2+}$  из растворов с различной концентрацией фонового электролита проводили на катионите КБ-2Э-10, для которого при исследовании равновесия было отмечено слабое влияние ионной силы раствора на избирательность поглощения целевых ионов. Кроме того, зерна КБ-2Э-10 в наименьшей степени подвержены изменению объема при переходе из одной солевой формы в другую. Минимальное изменение в связи с этим высоты слоя сорбента в колонке, плотности упаковки зерен обеспечивает постоянство гидродинамических условий процесса.

Для установления высоты слоя катионита КБ-2Э-10, на которой формируется стационарный фронт, были получены выходные кривые сорбции ионов в колонках различной длины. Ход кривых для ионов  $\text{Cu}^{2+}$  показан на рисунке 4. Можно говорить о формировании стационарного фронта в колонках с высотой слоя катионита 2,6 см. Вывод о формировании стационарного фронта в слоях катионита подтверждается незначимостью различий значений объемной ширины ( $\Delta V_{0,15-0,85}$ ) хроматографического фронта и скорости движения средней точки фронта ( $\omega_{0,5}$ ) в колонках различной высоты.

Выходные кривые кобальта(II) имеют более пологий ход по сравнению с кривыми меди(II) и отличаются меньшим размытием участков в начальной и особенно в завер-

шающей стадии процесса, что может быть связано с механизмом взаимодействия ионов с катионаобменником. Сорбция  $\text{Co}^{2+}$  реализуется в основном за счет электростатических сил в приповерхностном слое зерен сорбента. При поглощении  $\text{Cu}^{2+}$  большой вклад вносит координационное взаимодействие с продвижением сорбционного фронта вглубь зерен.

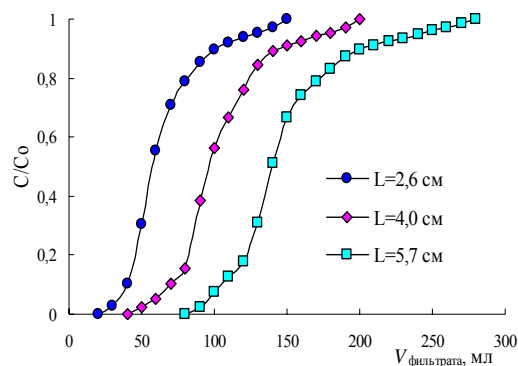


Рисунок 4. Выходные кривые сорбции ионов  $\text{Cu}^{2+}$  катионитом КБ-2Э-10 из растворов с иной силой 0,1 при различной высоте слоя ионита

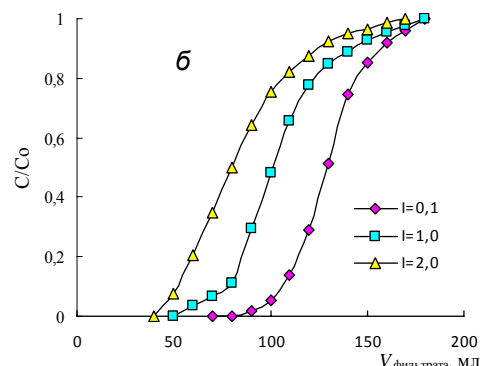
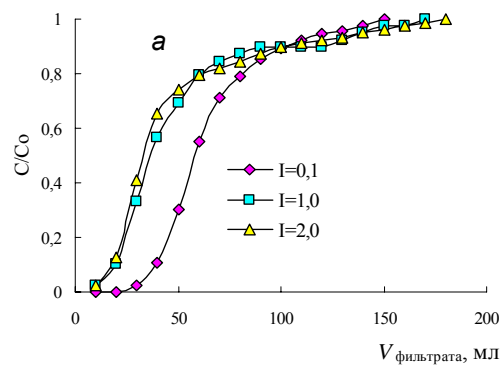


Рисунок 5. Выходные кривые сорбции ионов катионитом КБ-2Э-10 из растворов с различной ионной силой: а -  $\text{Cu}^{2+}$  ( $L = 2,6$  см), б -  $\text{Co}^{2+}$  ( $L = 4,8$  см).

Размытие конечного участка выходных кривых, вероятно, обусловлено замедле-

## ВЛИЯНИЕ ИОННОЙ СИЛЫ РАСТВОРА НА РАВНОВЕСИЕ И ДИНАМИКУ СОРБЦИИ КОБАЛЬТА(II) И МЕДИ(II) МАКРОСЕТЧАТЫМ КАРБОКСИЛЬНЫМ КАТИОНИТОМ КБ-2Э

нием диффузии ионов внутри зерен катионита, вызванным уменьшением объема гранул с ростом степени их насыщения ионами  $\text{Me}^{2+}$ .

Увеличение концентрации фонового электролита в растворе более существенно влияет на динамику сорбции  $\text{Co}^{2+}$  по сравнению с  $\text{Cu}^{2+}$ . Наблюдаемое расширение хроматографического фронта, вероятно, связано с усилением экранирующего влияния ионов фонового электролита на поверхностные функциональные группы сорбента, что в случае  $\text{Co}^{2+}$  имеет решающее значение.

Важно отметить возможности катионита КБ-2Э-10 для очистки растворов щелочных металлов от ионов переходных металлов.

Среднее значение степени извлечения ионов  $\text{Cu}^{2+}$  из растворов нитрата натрия катионитом КБ-2Э в статических условиях достигает 100 % и практически не зависит от ионной силы и сшитости сорбента. Для ионов  $\text{Co}^{2+}$  этот показатель составляет  $\sim 55 \div 60\%$ . Применение повторного цикла позволяет повысить глубину очистки раствора.

### ЗАКЛЮЧЕНИЕ

Отмечена связь избирательности поглощения ионов  $\text{Cu}^{2+}$  и  $\text{Co}^{2+}$  макросетчатым карбоксильным катионитом КБ-2Э и характера их гидратации.

Повышение ионной силы раствора, создаваемой добавками  $\text{NaNO}_3$ , от 0,1 до 1,0 оказывает незначительное влияние на избирательность сорбции в исследованном диапазоне концентраций целевых ионов, что

объясняется макросетчатой структурой катионита. Сорбция ионов в динамических условиях соответствует закономерностям избирательности поглощения ионов в условиях равновесия.

*Работа выполнена при поддержке федеральной целевой программы «Научные и научно-педагогические кадры инновационной России» на 2009-2013 годы, НК 473П.*

### СПИСОК ЛИТЕРАТУРЫ

1. Иванов В.А., Горшков В.И., Дроздова Н.В. и др. // Высокочист. вещества. – 1996. – №6. – С. 10 – 24.
2. Бобкова Л.А., Односторонцева Т.В., Якшибаева О.Ф. // Полифункциональные химические материалы и технологии. Сб. ст. – Т. 2. - Томск, 2007. - С. 201 - 204.
3. Марченко З. Методы спектрофотометрии в УФ и видимой области в неорганическом анализе. - М.: БИНом. Лаборатория знаний, 2009. - 711 с.
4. Мищенко К.П., Полторацкий Г.М. Термодинамика и строение водных и неводных растворов электролитов. - Л.: Химия, 1976. - 328 с.
5. Уэллс А. Структурная неорганическая химия: в 3 т. - Т. 2. - М.: Мир, 1988. - 694с.
6. Семушин А.М., Яковлев В.А., Иванова Е.В. Инфракрасные спектры ионообменных материалов. - Л.: Химия, 1980. - 96 с.
7. Кузнецова Л.К., Шатаева Н.Н., Елькин Г.Э. Карбоксильные катиониты в биологии. - Л.: Наука, 1979. - 288 с.
8. Селеменев В.Ф., Матвеева М.В., Чикин Г.А. и др. Порометрический анализ ионообменников, насыщенных аминокислотами. // Журн. физ. химии. - 1996. - Т.70, №2. - С. 370-373.

## ИССЛЕДОВАНИЕ МОЛЕКУЛЯРНЫХ КАТИОННЫХ КОМПЛЕКСОВ N-ОКСИДА ПИРИДИНИЯ

К.В. Мезенцев, Б.Г. Трясунов

Установлено образование молекулярных катионных комплексов *N*-оксида пиридиния в результате сольватации и протолиза в водно-органических системах. Выделены соединения, содержащие би- и тримолекулярные катионные ассоциаты. Характер ионно-молекулярных контактов изучен с привлечением спектроскопических методов и рентгеноструктурного анализа. Показан особый тип гипервалентных связей в результате трёхцентрового четырёхэлектронного взаимодействия.

**Ключевые слова:** *N*-оксид пиридиния, протолиз, катионный ассоциат, спектроскопия, кристаллическая структура.

### ВВЕДЕНИЕ

Способность образовывать водородные связи составляет одно из важнейших особых свойств атомов водорода. При определённых

условиях акцептирующий атом водорода способен соединяться одновременно с двумя другими атомами-донорами, образуя мостик A–H...B между ними. При этом в большинстве случаев атом водорода образует с одним из